Лекция 1

Тема лекции: Технология получения полупроводников

Цель лекции:

Познакомить студентов с основными этапами технологического процесса получения полупроводниковых материалов высокой чистоты, рассмотреть физико-химические методы синтеза и очистки, особенности выращивания монокристаллов и формирования структур для микро- и наноэлектроники.

Основные вопросы:

- 1. Понятие и классификация полупроводников.
- 2. Требования к чистоте и структуре полупроводников.
- 3. Методы получения исходных веществ..
- 4. Методы выращивания монокристаллов..

Краткие тезисы:

Существуют различные методы получения полупроводниковых наноматериалов, такие как, коллоидные методы, гидролизная обработка, газофазные методы и др.

Коллоидные методы позволяют «выкристал-лизовать» из раствора многие известные химические соединения, например селенид кадмия CdSe в виде наностержней, удлиненных наносфер, нанотетраэдров, нанокубов и наношестиугольников. При этом огранкой нанокристаллов можно управлять, варьируя концентрацию раствора соли. При достаточно низких концентрациях CdSe в растворе все нанокристаллы растут в форме, обеспечивающей минимальную свободную энергию — в виде сфер. Средняя концентрация позволяет получать анизотропные сильно вытянутые эллипсоидальные частицы.

При высокой концентрации растут палочки и другие протяженные наноструктуры. Если же концентрация очень высока, то раствор обеспечен достаточным количеством «строительных блоков» для каждого направления роста кристалла, и в результате получаются кристаллиты в форме многогранников.

Получение наночастиц высокой чистоты с гарантированными размерами и узким распреде-лением по размерам (т. е. практически монодисперсных) требует строгого соблюдения условий реакции и предотвращения поверхностных загрязнений. Так, наночастицы селенида кадмия среднего

размера $(4,5\pm0,3$ нм) синтезируются растворением диметилкадмия (Cd(CH3)2) и порошков селена в трибутилфосфине. Образующийся раствор инжектируется в нагретый до температуры $340-360^{\circ}C$ оксид триоктилфосфина.

Это поверхностно-активное вещество (сурфактант), с одной стороны, препятствует агломерации наночастиц, а с другой стороны — пассивирует их поверхность, защищая от окисления и т. д.

Кристаллизация CdSe начинается при температуре 280–300°C. Различные добавки в растворитель могут приводить к кристаллизации не только округлых наночастиц, но и стержневидных нанокристаллов. Длительность нагрева составляет от нескольких минут до нескольких часов.

Наночастицы осаждаются при добавлении метанола в охлажденную до комнатной температуры реакционную смесь, которая затем подвергается центрифугированию и сушке в азоте. За один опыт в лабораторных условиях удается получить порцию наночастиц массой от сотни миллиграммов до нескольких граммов.

Наночастицы сульфида кадмия осаждаются из растворов сульфида натрия и хлората кадмия:

$$Cd (ClO4)2 + Na2S = CdS \downarrow + 2NaClO4$$

При этом рост частиц CdS регулируется за счет контролируемого прерывания реакции.

Нанооксид титана образуется при гидролизе тетрахлорида титана:

$$TiCl_4 + H_2O = TiO_2 \downarrow + 4HCl$$

К методам осаждения из парогазовой фазы относится метод **газофазной** эпитаксии, позволяющий получать эпитаксиальные плёнки полупроводников. Так, например, существует два основных метода получения эпитаксиальных плёнок кремния из парогазовой фазы: восстановление тетрахлорида кремния (хлоридный); пиролитическое разложение моносилана (силановый).

Хлоридный метод

Реакция идёт на поверхности подложек, нагретых до 1200°C (при температурах меньше 1000°C растёт поликристаллический кремний):

Реакция обратимая, и при повышении температуры начинает идти в обратную сторону, или же:

Si+SiCl₄=2SiCl₂

Процесс проводится при атмосферном давлении способом проточной трубы. Разогрев пластин осуществляется инфракрасным излучением, индукционным или резистивным способом. Скорость роста слоя — 0.2–03 мкм в мин.

В силановом методе разложение происходит при t=1050°C, что, по сравнению с хлоридным методом, снижает диффузию и вредный эффект автолегирования (проникновение примесей из подложки в растущий эпитаксиальный слой):

SiH₄=Si+2H₂

Благодаря этому данным методом удаётся получать более резкие **p-n переходы**.

Метод требует соблюдения техники безопасности для работы с силаном (самовоспламеняется, ядовит), водородом и соляной кислотой (используется для предварительной химической очистки подложек).

Легирование эпитаксиальных слоёв осуществляется одновременно с их ростом реактивным способом (добавлением легирующей примеси в парогазовую смесь).

Самым передовым методом получения многослойных полупроводниковых систем, гетероструктур и тонких пленок с контролем толщины на атомном уровне является метод молекулярно-лучевой эпитаксии (МЛЭ). В методе МЛЭ нанесение пленок осуществляется путем испарения вещества в сверхвысоком вакууме, при этом тонкие упорядоченные слои формируются на нагретой монокристаллической подложке. Высокая температура способствует быстрой миграции атомов по поверхности, в результате чего атомы занимают строго определенные положения, ориентированные относительно подложки.

На рис.1 показана типичная схема установки для выращивания гетероструктур (сверхрешеток) на основе соединений $A^{III}B^V$ методом МЛЭ. Основным блоком системы МЛЭ является ростовая камера, в которой испарение материалов осуществляется из эффузионных ячеек.

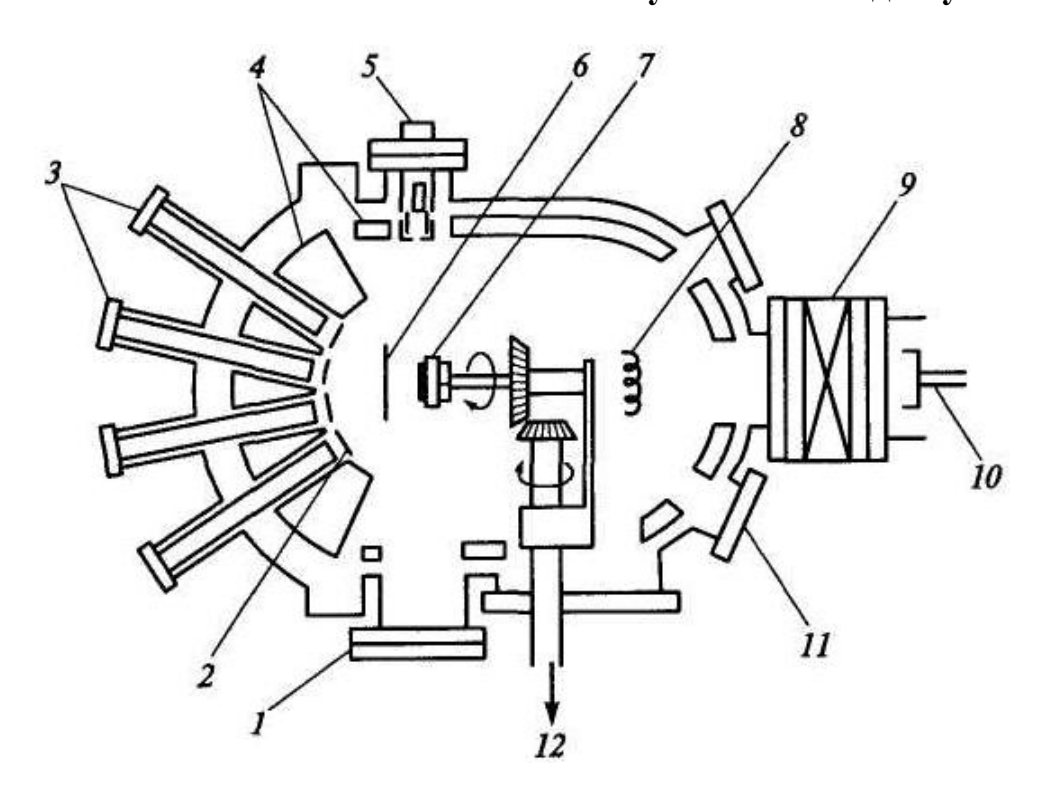


Рис.1. - Схема установки для молекулярно-лучевой эпитаксии (вид сверху)

1-экран; 2, 3-соответственно заслонки и фланцы эффузионных ячеек; 4-экраны; 5- дифрактометр; 6 - заслонка; 7 - подложка на вращающемся держателе; 8 - ионизационный индикатор; 9 - шлюзовой клапан; 10 - вакуумный шлюз для смены образцов; 11 - смотровое окно; 12 - двигатель для вращения подложки

Эффузионная ячейка представляет собой полый цилиндр с крошечным отверстием в крышке, который нагревается до высокой температуры.

Температура нагрева достигает 1900 К. Заслонка перед ячейкой позволяет резко выключать пучок для формирования четких гетерограниц в образце. В одной ростовой камере может располагаться несколько испарителей, каждый из которых предназначен для нанесения одного вещества.

Испаряемый материал осаждается на подложку, закрепленную на манипуляторе с нагревательным устройством. Помимо испарителей, в ростовой камере находится дифрактометр отраженных электронов, контролирующий структуру формируемых пленок.

Количество и тип источников определяется используемыми для роста веществами. Например, для создания структур **GaAs/AlGaAs** необходимо три источника: **Ga**, **Al** и **As**.

Обычно в установках предусмотрено место для установки нескольких источников (обычно шести), что позволяет реже вскрывать установку для заправки источников веществом.

Вакуумный шлюз позволяет менять подложки, сохраняя сверхвысокий вакуум. Вращением подложки обеспечивается однородность состава и структуры напыляемых слоев, индивидуальная толщина которых может составлять от нескольких нанометров до долей микрона.

Скорость роста определяется потоком вещества на поверхность. При малых потоках получаются очень гладкие плёнки с четкими гетерограницами. Однако из-за длительности процесса повышается вероятность загрязнения поверхности, что приводит к появлению дефектов в получаемой структуре. При большем потоке растёт не монокристаллическая плёнка, а поликристаллическая или аморфная.

Метод МЛЭ позволяет выращивать **гетерострук-туры** заданной толщины с моноатомно гладкими гетерограницами и с заданным профилем **легирова-ния**. Для процесса эпитаксии необходимы специальные хорошо очищенные **подложки** с атомарногладкой поверхностью.

Несмотря на достаточно простую идею, реализация данной технологии требует чрезвычайно сложных технических решений. Основные требования к установке эпитаксии следующие:

- в рабочей камере установки необходимо поддерживать **сверхвысокий** вакуум (около 10⁻⁸ Па);
- чистота испаряемых материалов должна достигать 99,999999 %;
- необходим молекулярный источник, способный испарять тугоплавкие вещества (такие как **металлы**) с возможностью регулировки плотности потока вещества.

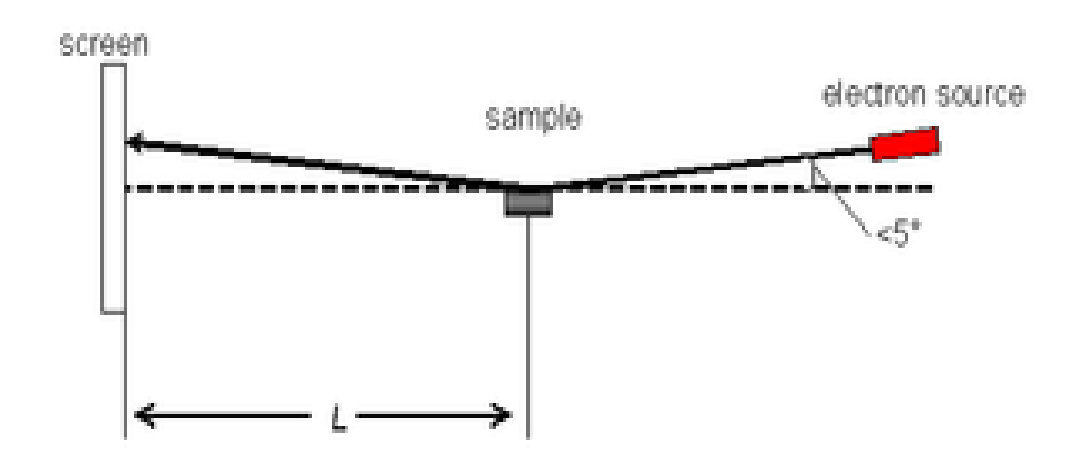


Рис.2 - Схема метода дифракции быстрых электронов

Дифракция быстрых электронов на отражение позволяет контролировать следующие параметры роста:

• чистота поверхности (по яркости отраженного сигнала);

- температура образца (по изменению картины дифракции при критических температурах из-за перестройки поверхности);
- ориентация подложки (по направлению полос в дифракционной картине);
- скорость роста (по осцилляции основного рефлекса в ходе роста).

Различают **гомоэпитаксию** (материалы пленок и подложки идентичны) и **гетероэпитаксию**, когда сочетаются разнородные вещества.

Рост пленок при конденсации из паровой фазы включает несколько элементарных процессов:

- адсорбцию;
- поверхностную диффузию;
- флуктуационное образование зародышей и их рост.

Различают три механизма роста. Механизм по **Фольмеру–Веберу** предполагает зарождение изолированных трехмерных островков, их рост и коалесценцию с образованием сплошной пленки (рис. 2). По механизму **Франка–Ван дер Мерве** рост пленки начинается с образования двухмерных зародышей и происходит за счет последовательного наращивания моноатомных слоев (рис. 3).

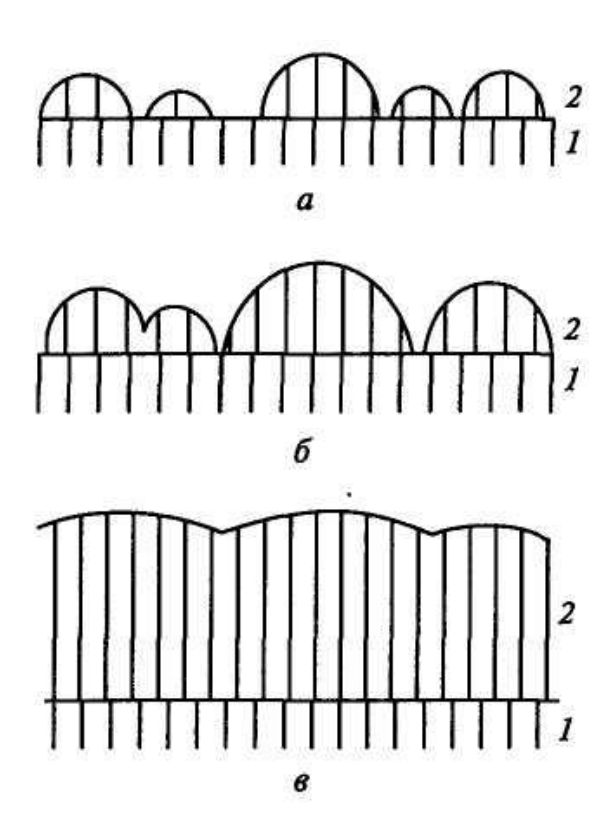


Рис. 3. - Морфологические изменения при росте пленок по механизму Фольмера—Вебера

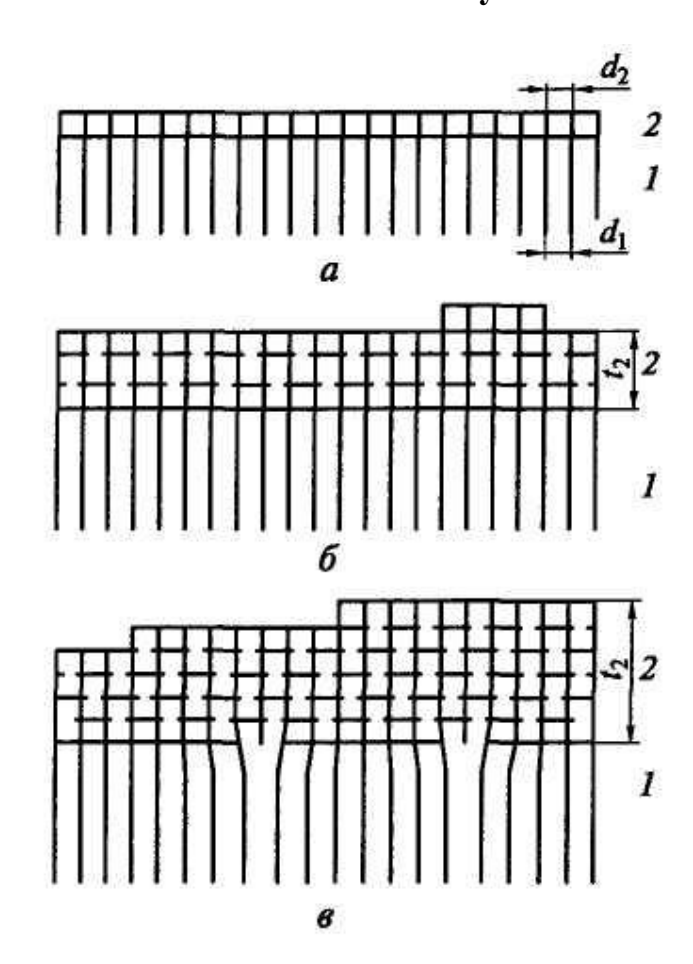


Рис. 4. - Схема, иллюстрирующая рост пленки по механизму

Реализация этих механизмов зависит от многих факторов - сопряжения периодов кристаллических решеток пленки и подложки, уровня диффузионных процессов и взаимной растворимости в этой паре, условий эксперимента и т.д.

Для гетероэпитаксиальных систем, согласованных по периодам решетки, оценить в первом приближении предпочтительность того или иного механизма можно из термодинамических соображений. Слоевое зарождение пленки (т.е. осуществление второго механизма) происходит, если выполняется соотношение

$$\sigma_1 > \sigma_2 + \sigma_{12} \tag{1}$$

где σ_1 -поверхностная энергия подложки; σ_2 - поверхностная энергия пленки; σ_{12} - межфазная энергия границы раздела. Если имеет место обратное соотношение

$$\sigma_1 < \sigma_2 + \sigma_{12} \tag{2}$$

то предпочтительнее трехмерное (островковое) зародышеобразование по первому механизму.

Третий механизм роста может иметь место в системах, где выполняется соотношение (1), но имеется рассогласование по периодам решетки и возникает энергия упругой деформации, зависящая от толщины пленки.

Таким образом, в начале процесса реализуется слоевое зарождение пленки, но для компенсации возрастающей упругой энергии в дальнейшем островковый рост оказывается более предпочтительным. В островках происходит релаксация упругих напряжений и снижение уровня упругой энергии.

Представления о механизмах кристаллизации пленок оказались важными *при разработке гетеро-структур с квантовыми точками*. Кроме МЛЭ для формирования *гетероструктур с квантовыми точками* может быть использован метод *CVD*, а также *ионная имплантация*.

Квантовые точки представляют собой *нульмерные квантово- размерные образования*, в пределах которых движение носителей заряда ограничено в трех направлениях.

Процесс формирования таких структур основан на кристаллизации по механизму *Крастанова-Странского*, когда в процессе роста пленки на подложке сначала происходит рост слоев, но по достижении критической толщины такая ситуация оказывается энергетически невыгодной и минимуму свободной энергии системы будет отвечать формирование на поверхности роста *трехмерных островков - квантовых точек*.

Последняя успешно продемонстрирована на примере систем на основе Si-Ge и других полупроводников.

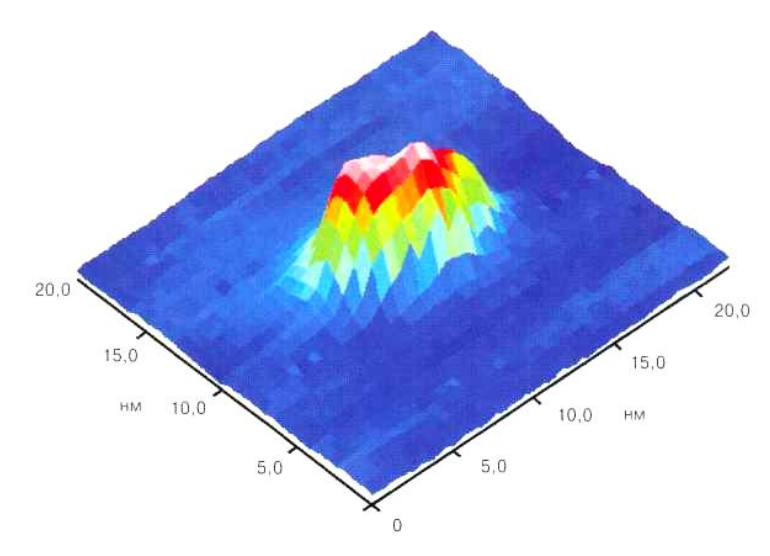


Рис. 5. - Трехмерное изображение *одной квантовой точки* Ge на подложке Si, полученное с помощью атомно-силового микроскопа (ACM)

В основе формирования таких структур лежит процесс *самоорганизации радиационных дефектов*, образующихся при ионной имплантации.

Так, внедрение ионов Ge⁺ в кремниевую подложку, приводит к образованию шероховатостей, а последующий отжиг сопровождается образованием упорядоченных германиевых кластеров, что фиксировалось с помощью атомно-силового микроскопа и сканирующего электронного микроскопа и др.

МЛЭ позволяет получать не только 0-мерные **квантовые точки**, но 1-мерные **квантовые нити** (также называемые «квантовыми проволоками»), а также 2-мерные **квантовые ямы, сверхрешетки, плоские волноводы**. Для получения квантовых точек (InAs) используется явление самоорганизации, когда выращивают пару монослоёв InAs плёнки на GaAs подложке.

Так как рассогласования объёмных постоянных решёток достигает 7% данная плёнка рвётся и InAs собирается в островки, которые и называются изза своих размеров квантовыми точками.

Полимерные материалы.

С помощью нанопечатной литографии (рис. 6) удается изготавливать **полимерные шаблоны (темплаты)** с отверстиями диаметром 10 нм и глубиной 60 нм.

Отверстия образуют квадратную решетку с шагом 40 нм и предназначены для размещения нанообъектов типа углеродных нанотрубок, катализаторов и т.д. Такие шаблоны создаются путем деформации

специальными штампами с последующим реактивным ионным вытравливанием полимерных остатков из отверстий.

Применяют также приемы *литографически индуцированной самосборки наноструктур*. В этом случае решетка формируется за счет образующейся матрицы столбов, растущих из полимерного расплава, находящегося на кремниевой подложке (рис. 7).

Следует отметить, что этот процесс может быть применен и к другим материалам (*полупроводникам*, *металлам и биоматериалам*), что важно для создания запоминающих устройств различных типов.

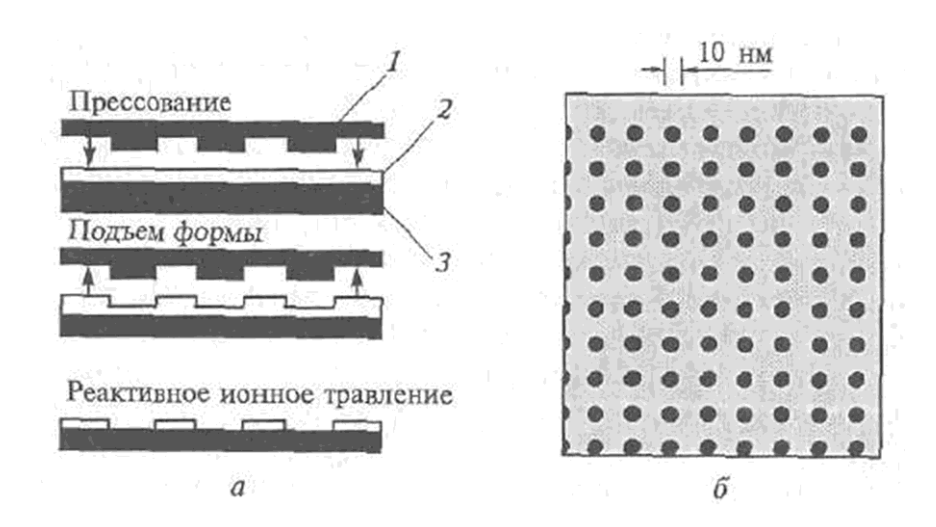


Рис. 6. - Схема процесса нанопечатной литографии а - 1 - штамп, 2 - полимерная основа, 3 - подложка, б - изображение полиметилметакрилатового шаблона с решеткой отверстий, полученное на сканирующем электронном микроскопе

Вопросы для контроля изучаемого материала:

- 1. В чём состоят основные отличия между элементарными и соединёнными полупроводниками?
- 2. Почему в технологии полупроводников ключевую роль играет чистота материала?
- 3. Опишите принцип метода зонной плавки.
- 4. В чём заключается метод Чохральского?
- 5. Как осуществляется эпитаксиальный рост полупроводниковых слоёв?
- 6. Какие методы легирования применяются для формирования p-n переходов?
- 7. Каковы современные тенденции развития технологий полупроводников?

Тулегенова Аида Тулегенкызы

Список литературных источников:

- 1. Соколов В. И. Физика и технология полупроводников. М.: МИФИ, 2015.
- 2. Смирнов В. Н. Материаловедение полупроводников и диэлектриков. М.: Наука, 2018.
- 3. Sze, S. M., Ng, K. K. Physics of Semiconductor Devices. Wiley, 2007.
- 4. Pierret, R. F. Semiconductor Device Fundamentals. Addison-Wesley, 1996.
- 5. Streetman, B. G., Banerjee, S. Solid State Electronic Devices. Prentice Hall, 2016.
- 6. Hull, R., ed. Properties of Crystalline Silicon. INSPEC, 1999.